



(19) 대한민국특허청(KR)
 (12) 등록특허공보(B1)

(45) 공고일자 2017년11월08일
 (11) 등록번호 10-1794972
 (24) 등록일자 2017년11월01일

- (51) 국제특허분류(Int. Cl.)
C12N 15/72 (2006.01) *C12N 15/52* (2006.01)
C12N 9/04 (2006.01) *C12N 9/10* (2006.01)
C12N 9/12 (2006.01) *C12N 9/88* (2006.01)
C12P 19/12 (2006.01)
- (52) CPC특허분류
C12N 15/72 (2013.01)
C12N 15/52 (2013.01)
- (21) 출원번호 10-2017-0013030(분할)
- (22) 출원일자 2017년01월26일
 심사청구일자 2017년01월26일
- (65) 공개번호 10-2017-0092461
- (43) 공개일자 2017년08월11일
- (62) 원출원 특허 10-2016-0012803
 원출원일자 2016년02월02일
 심사청구일자 2016년02월02일
- (56) 선행기술조사문헌
 WO2012049083 A2*
 KR101544184 B1*

*는 심사관에 의하여 인용된 문헌

전체 청구항 수 : 총 9 항

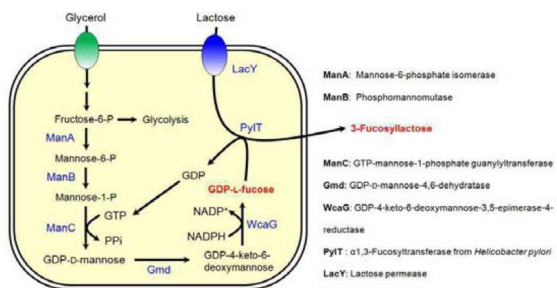
심사관 : 최준호

(54) 발명의 명칭 α -1,3-푸코실락토오즈의 대량 생산 방법

(57) 요약

본 발명은 재조합 대장균을 이용한 α -1,3-푸코실락토오즈의 대량 생산 방법에 관한 것으로, 본 발명의 재조합 대장균을 이용할 경우, 생산수율이 낮아 산업적 측면 대량 생산이 불가능하였던 종래기술의 제약을 극복하여, 매우 높은 생산수율로 3-푸코실락토오즈를 대량 생산할 수 있다.

대 표 도 - 도1



(52) CPC특허분류

C12N 9/0006 (2013.01)

C12N 9/1051 (2013.01)

C12N 9/1241 (2013.01)

C12N 9/88 (2013.01)

C12P 19/12 (2013.01)

C12N 2511/00 (2013.01)

이 발명을 지원한 국가연구개발사업

과제고유번호 0652-20150015

부처명 교육과학기술부

연구관리전문기관 차세대바이오매스연구단

연구사업명 글로벌프론티어연구개발사업

연구과제명 미세조류 유래 통합 당류 이용 스마트생물소재 생산기술 개발

기여율 1/1

주관기관 서울대학교

연구기간 2010.10.22 ~ 2019.08.31

명세서

청구범위

청구항 1

α -1,3-푸코실락토오즈 생산용 재조합 대장균에 있어서,

상기 재조합 대장균은,

헬리코박터 파이로리 (*Helicobacter pylori*) ATCC 43504에서 유래한 것으로, 서열번호 6의 아미노산 서열로 이루어진 α -1,3-푸코오즈전이효소를 암호화하는 핵산서열이 도입되고,

wcaJ 유전자가 제거된 것을 특징으로 하는 α -1,3-푸코실락토오즈 생산용 재조합 대장균.

청구항 2

제1항에 있어서,

상기 서열번호 6의 아미노산 서열로 이루어진 α -1,3-푸코오즈전이효소를 암호화하는 핵산서열은, 서열번호 2에 기재된 핵산서열인 것을 특징으로 하는 α -1,3-푸코실락토오즈 생산용 재조합 대장균.

청구항 3

제1항에 있어서,

상기 대장균은,

대장균(*E. coli*) BL 21 star(DE3) 균주인 것을 특징으로 하는 α -1,3-푸코실락토오즈 생산용 재조합 대장균.

청구항 4

제3항에 있어서,

상기 재조합 대장균은,

'야생형 *Iac* 오페론' 대신,

'야생형 베타갈락토시다아제보다 활성이 낮춰진 베타갈락토시다아제를 코딩하는 *IacZ* 유전자, 야생형 *IacY* 유전자 및 야생형 *IacA* 유전자로 구성된 *Iac* 오페론' 또는, '야생형 *IacZ* 유전자가 완전히 제거되고, 야생형 *IacY* 유전자 및 야생형 *IacA* 유전자만으로 구성된 *Iac* 오페론'을 보유하고 있는 것을 특징으로 하는 α -1,3-푸코실락토오즈 생산용 재조합 대장균.

청구항 5

제1항에 있어서,

상기 재조합 대장균은,

GDP-D-만노오스-4,6-데하이드라타아제 (Gmd), GDP-L-푸코오스 신타아제 (WcaG), 포스포만노뮤타아제 (ManB), 그리고 만노오스-1-포스페이트 구아닐트랜스퍼라아제 (ManC)를 암화화하는 유전자가 도입되어 있는 것을 특징으로 하는 α -1,3-푸코실락토오즈 생산용 재조합 대장균.

청구항 6

삭제

청구항 7

글리세롤 및 락토오즈가 함유된 배지에 제1항의 재조합 대장균을 배양하는 것을 특징으로 하는 α -1,3-푸코실락토오즈의 생산방법.

청구항 8

제7항에 있어서,

상기 α -1,3-푸코실락토오즈의 생산방법은,

글리세롤을 추가로 공급하는 유가식 배양인 것을 특징으로 하는 α -1,3-푸코실락토오즈의 생산방법.

청구항 9

제8항에 있어서,

상기 유가식 배양은,

37°C의 배양온도로 배양을 시작하다가,

헬리코박터 파이로리 (*Helicobacter pylori*) ATCC 43504에서 유래한 것으로 α -1,3-푸코오즈전이효소를 암호화하는 서열번호 2의 유전자 *pylT*를 발현시킨 후, 배양온도를 25°C 낮추는 것을 특징으로 하는 α -1,3-푸코실락토오즈의 생산방법.

청구항 10

제9항에 있어서,

상기 α -1,3-푸코실락토오즈의 생산방법은,

배양온도를 25°C로 낮춘 후, 락토오즈를 배양배지 중에 주입하는 것을 특징으로 하는 α -1,3-푸코실락토오즈의 생산방법.

발명의 설명**기술 분야**

[0001] 본 발명은 α -1,3-푸코실락토오즈의 대량 생산 방법에 관한 것으로, 더욱 상세하게는 재조합 대장균을 이용한 α -1,3-푸코실락토오즈의 대량 생산 방법에 관한 것이다.

배경 기술

[0003] 인간의 모유에는 200여 종 이상의 각기 다른 구조를 가지는 올리고당 (Human Milk Oligosaccharide, HMO)이 다른 포유류에 비해 상당히 높은 농도 (5~15 g/L)로 존재한다.

[0004] HMO는 프리바이오틱(prbiotic) 효과, 병원균 장내부탁 억제 효과 그리고 면역조절시스템 조절효과 등 영유아에게 필수적인 기능성을 발휘하는 것으로 알려져 있어 최근 각광을 받고 있다.

[0005] HMO 중에 가장 많은 양으로 존재하는 2-푸코실락토오즈는 앞서 언급한 다양한 생물학적 활성에 관여하는 주요 HMO인 것으로 보고되어 있는데, 이의 이성질체인 3-푸코실락토오즈 또한 위와 같은 기능성을 지닐 것으로 기대

되고 있다.

[0006] HMO 중 2-푸코실락토오즈는 약 33% 정도 존재하는 반면, 3-푸코실락토오즈는 3~4% 정도로 소량 존재하는 것으로 알려져 있는데, 3-푸코실락토오즈의 생산방법은 직접 모유로부터 추출하는 방법과 화학적 또는 효소적 방법으로 추출하는 방법이 있다.

[0007] 직접 추출하는 방법은 모유 수급의 한계와 낮은 생산성이 문제이다. 화학적 합성법은 고가의 기질, 낮은 이성체 선택성과 생산수율, 그리고 독성시약의 사용 등의 문제가 있다. 또한, 효소적 합성법은 전구체가 되는 GDP-L-푸코오즈가 매우 고가라는 점과 푸코즈전이효소의 정제비용이 많이 든다는 문제점이 있다.

[0008] 상기와 같은 문제점으로 인해 3-푸코실락토오즈는 대량생산이 어렵고 대량 생산을 위한 기술이 거의 없는 실정이다. 하지만, 유아용 이유식에 첨가됨으로써 많은 기능성 향상을 기대할 수 있기 때문에, 산업적 생산을 위한 더욱 많은 연구가 필요하다 할 수 있다.

선행기술문헌

특허문헌

[0010] (특허문헌 0001) 대한민국 특허등록번호 제10-1544184호 (등록일자 2015. 08. 06)에는, 2-푸코실락토오즈를 생산하기 위한 변이 미생물 및 이를 이용한 2-푸코실락토오즈의 제조방법에 관한 것으로, lacZ가 변형 또는 제거된 오페론 도입 및 FucT2 또는 이의 변이체를 코딩하는 유전자, G6PDH(glucose-6-phosphate dehydrogenase) 및 GSK (guanosine-inosine kinase)를 코딩하는 유전자로 이루어진 군에서 선택된 하나 이상의 유전자가 도입 또는 증폭되어 있는 변이 미생물 및 이를 이용한 2-푸코실락토오즈의 제조방법이 기재되어 있다.

발명의 내용

해결하려는 과제

[0011] 본 발명에서는 재조합 대장균을 이용하여, α -1,3-푸코실락토오즈를 대량으로 생산할 수 있는 방법을 개발하여 제공하고자 한다.

과제의 해결 수단

[0013] 본 발명은, α -1,3-푸코실락토오즈 생산용 재조합 대장균에 있어서, 상기 재조합 대장균은, 헬리코박터 파이로리 (*Helicobacter pylori*) ATCC 26695에서 유래한 것으로, 서열번호 5의 아미노산 서열을 갖는 α -1,3-푸코오즈전이효소를 암호화하는 핵산서열이 도입되거나, 헬리코박터 파이로리 (*Helicobacter pylori*) ATCC 43504에서 유래한 것으로, 서열번호 6의 아미노산 서열을 갖는 α -1,3-푸코오즈전이효소를 암호화하는 핵산서열이 도입되어 있는 것을 특징으로 하는 α -1,3-푸코실락토오즈 생산용 재조합 대장균을 제공한다.

[0014] α -1,3-푸코실락토오즈를 생산하기 위해서는, GDP-L-푸코오스(GDP-L-fucose)와 락토오즈(lactose)를 기질로 하여 α -1,3-푸코실락토오즈 생산 반응을 수행하는 α -1,3-푸코오즈전이효소(α -1,3-fucosyltransferase)가 필요하다 (도 1 참조 요망). 이 효소는 다양한 미생물에 존재하는데, 본 발명에서는 α -1,3-푸코실락토오즈의 생산 수율이 우수한 α -1,3-푸코오즈전이효소 2종 (FucB, PyIT)을 발굴한 것이다.

[0015] 하기 본 발명의 실현에 의할 경우, 헬리코박터 파이로리 (*Helicobacter pylori*) ATCC 26695 유래 α -1,3-푸코오즈전이효소를 암호화하는 서열번호 1의 유전자 fucB를 본 발명에 도입할 경우, 유가식 배양에서 0.42 g 3-FL/g lactose의 α -1,3-푸코실락토오즈 생산수율을 확인할 수 있었고, 헬리코박터 파이로리 (*Helicobacter pylori*) ATCC 43504 유래 α -1,3-푸코오즈전이효소를 암호화하는 서열번호 2의 유전자 pyIT를 본 발명에 도입할 경우, 유가식 배양에서 0.57 3-FL/g lactose의 α -1,3-푸코실락토오즈 생산수율을 확인할 수 있었다. 이에 반하여, 박테로이데스 프라질리스 (*Bacteroides fragilis*) ATCC 25285 유래의 α -1,3-푸코오즈전이효소들은 α -1,3-푸코실락토오즈 생산수율이 각각 0.007 3-FL/g lactose, 0.009 3-FL/g lactose에 불과하였다.

[0016] 한편, 본 발명의 α -1,3-푸코실락토오즈 생산용 재조합 대장균에 있어서, 상기 서열번호 5의 아미노산 서열을 갖는 α -1,3-푸코오즈전이효소를 암호화하는 핵산서열은 바람직하게 서열번호 1에 기재된 핵산서열 (fucB 유전자)일 수 있다. 또한, 서열번호 6의 아미노산 서열을 갖는 α -1,3-푸코오즈전이효소를 암호화하는 핵산서열은

바람직하게 서열번호 2에 기재된 핵산서열 (*pyIT* 유전자)일 수 있다.

[0017] 한편, 본 발명의 α -1,3-푸코실락토오즈 생산용 재조합 대장균에 있어서, 상기 대장균은 바람직하게 대장균 (*E. coli*) BL 21 star(DE3)균주인 것이 좋다. 기존에 사용된 대장균 (*E. coli*) K12는 F'플라즈미드를 가지고 있기 때문에 과량의 바이오플룸을 생성하고, 높은 세포밀도에서 자라면, 생산물 형성 비율을 증가시키기 위해 세포성장이 억제되는 문제가 발생한다. 또한, 높은 수준의 아세테이트를 축적하는 문제도 있어, 전체적으로 유가식 배양 자체가 힘든 문제가 있다.

[0018] 하지만, 본 발명의 대장균 (*E. coli*) BL21 star(DE3)는 F'플라스미드를 가지지 않고, 활발한 당대사로 인해 세포성장도 빠르다. 또한, 아세테이트 축적량이 상대적으로 적고, 글루코스 이용률이 우수한 특징이 있다. 이와 같은 이유로 인해 대장균 (*E. coli*) BL21 star(DE3)는 본 발명의 α -1,3-푸코실락토오즈 생산에 적합한 균주이고, 유가식 배양을 통해 대량의 α -1,3-푸코실락토오즈를 생산할 수 있는 것이다.

[0019] 한편, 본 발명의 α -1,3-푸코실락토오즈 생산용 재조합 대장균에 있어서, 상기 재조합 대장균은, 바람직하게 '야생형 *lac* 오폐론' 대신, '야생형 베타 갈락토시다아제보다 활성이 낮춰진 베타갈락토시다아제를 코딩하는 *lacZ* 유전자, 야생형 *lacY* 유전자 및 야생형 *lacA* 유전자로 구성된 *lac* 오폐론' 또는, '야생형 *lacZ* 유전자가 완전히 제거되고, 야생형 *lacY* 유전자 및 야생형 *lacA* 유전자만으로 구성된 *lac* 오폐론'을 보유하고 있는 것이 좋다.

[0020] 상기 본 발명의 대장균 (*E. coli*) BL21 star(DE3) 균주는 상기에서 살펴본 여러 장점 때문에, α -1,3-푸코실락토오즈의 생산을 위한 최적 균주라 할 수 있으나, 락토오즈의 대사가 강하기 때문에, 고수율로 α -1,3-푸코실락토오즈의 생산을 위해서는 *lacZ*의 과제가 필수적으로 필요하다.

[0021] 이에 본 발명에서는 변형된 *lacZ* 및 야생형 *lacYA*를 보유한 ΔL M15 균주 및 *lacZ* 결실 및 야생형 *lacYA*를 보유한 ΔL YA 균주를 구축하였는데, 이들 균주는 락토오즈의 대사를 억제하고, 락토오즈의 대장균 내로 유입이 원활하도록 개발된 균주이다.

[0022] 한편, 본 발명의 α -1,3-푸코실락토오즈 생산용 재조합 대장균에 있어서, 상기 재조합 대장균은, 바람직하게 GDP-D-만노오스-4,6-데하이드라타아제 (Gmd), GDP-L-푸코오스 신타아제 (WcaG), 포스포만노뮤타아제 (ManB), 그리고 만노오스-1-포스페이트 구아닐트랜스퍼라아제 (ManC)를 암화화하는 유전자가 도입되어 있는 것이 좋다.

[0023] 이들 유전자가 균주 내로 도입됨으로써, 글리세롤로부터 GDP-L-푸코오스를 생산하는 생합성 경로가 강화되어, 궁극적으로 α -1,3-푸코실락토오즈의 생산량을 늘릴 수 있다.

[0024] 한편, 본 발명의 α -1,3-푸코실락토오즈 생산용 재조합 대장균에 있어서, 상기 재조합 대장균은 *wcaJ* 유전자가 제거된 것이 좋다. 이 유전자가 제거됨으로써, α -1,3-푸코실락토오즈의 전구체로 사용이 되어지는 GDP-L-푸코오스가 콜라닌산 (colanic acid)으로 전환되는 것을 막아 최종적인 생산 수율을 높이는 효과가 발휘된다.

[0025] 한편, 본 발명은 글리세롤 및 락토오즈가 함유된 배지에 상기 본 발명의 α -1,3-푸코실락토오즈의 생산용 재조합 대장균을 배양하는 것을 특징으로 하는 α -1,3-푸코실락토오즈의 생산방법을 제공한다. 이때, 상기 α -1,3-푸코실락토오즈의 생산방법은, 바람직하게 글리세롤을 추가로 공급하는 유가식 배양인 것인 것이 좋다.

[0026] 또한, 본 발명의 상기 유가식 배양은, 바람직하게 37°C의 배양온도로 배양을 시작하다가, 헬리코박터 파이로리 (*Helicobacter pylori*) ATCC 26695에서 유래한 것으로 α -1,3-푸코오즈전이효소를 암호화하는 서열번호 1의 유전자 *fucB*를 발현시키거나, 헬리코박터 파이로리 (*Helicobacter pylori*) ATCC 43504에서 유래한 것으로 α -1,3-푸코오즈전이효소를 암호화하는 서열번호 2의 유전자 *pyIT*를 발현시킨 후, 배양온도를 25°C 낮추는 것이 좋다.

[0027] 또한, 바람직하게 배양온도를 25°C로 낮춘 후, 락토오즈를 배양배지 중에 주입하는 것이 좋다.

발명의 효과

[0029] 본 발명의 재조합 대장균을 이용할 경우, 생산수율이 낮아 산업적 측면 대량 생산이 불가능하였던 종래기술의 제약을 극복하여, 매우 높은 생산수율로 α -1,3-푸코실락토오즈를 대량 생산할 수 있다.

도면의 간단한 설명

[0031] 도 1은 글리세롤 및 락토오즈로부터 α -1,3-푸코실락토오즈를 생합성하는 경로를 보여주는 모식도이다.

도 2는 'BL21 (DE3) star ΔL M15 pmBCGW + pFucB 균주', 'BL21 (DE3) star ΔL M15 pmBCGW + pPy1T 균주', 'BL21 (DE3) star ΔL M15 pmBCGW + pFral 균주' 및 'BL21 (DE3) star ΔL M15 pmBCGW + pFra2 균주'를 이용한 3-푸코실락토오즈의 회분식 배양 결과이다.

도 3은 'BL21 (DE3) star ΔL YA pmBCGW + pFucB 균주', 'BL21 (DE3) star ΔL YA pmBCGW + pPy1T 균주', 'BL21 (DE3) star ΔL YA pmBCGW + pFral 균주' 및 'BL21 (DE3) star ΔL YA pmBCGW + pFra2 균주'를 이용한 유가식 배양 결과이다.

도 4는 'BL21 (DE3) star 균주'의 *wcaJ* 유전자 파쇄 결과이다.

도 5는 'BL21 (DE3) star ΔL YA $\Delta wcaJ$ pmBCGW + pPy1T 균주'의 유가식 배양 결과이다.

발명을 실시하기 위한 구체적인 내용

[0032]

이하, 본 발명의 내용을 하기 실시예 및 실험예를 통해 더욱 상세히 설명하고자 한다. 다만, 본 발명의 권리범위가 하기 실시예에만 한정되는 것은 아니고, 그와 등가의 기술적 사상의 변형까지를 포함한다.

[0034]

[제조예 1: 재조합 균주 및 플라스미드 제작]

[0035]

본 발명자가 이미 구축한 GDP-푸코오즈 생산 균주 (*E. coli* BL21 (DE3) star ΔL M15 pmBCGW)에, 추가적으로 α -1,3-푸코오즈전이효소를 도입하여 새로운 3-푸코실락토오즈 생산 균주를 구축하고자 하였다.

[0036]

한편, pmBCGW 벡터는 글리세롤 또는 글루코오즈를 푸코실락토오즈의 전구체로 사용되는 GDP-L-푸코오즈로 전환시키기 위하여 상기 대장균에 삽입된 것이다 (Lee, W. H., et al., 2009, Bioresour Technol, 100(24):6143). 이 벡터는 pETDuet-1에 Gmd (GDP-D-mannose-4, 6-dehydratase), WcaG (GDP-L-fucose synthase), ManB (phosphomannomutase), 그리고 ManC (mannose-1-phosphate guanyltransferase)의 네 가지 단백질을 발현시킬 수 있으며, 모든 유전자는 대장균에서 유래하였다.

[0037]

한편, 실시예 2에서 사용한 호스트 균주인 *E. coli* BL21 (DE3) star ΔL M15는 하기의 방법으로 제작하였다. 우선 pGlacZ Δ M15를 제작하기 위해, 2쌍의 프라이머 'P1_M15 lac/ P2_M15 lac'와 'P3_M15 lac/P4_M15 lac'을 사용하여 *E. coli* K-12 (ATCC10798)의 게놈 DNA로부터 각각 2개의 DNA 단편을 증폭하였다. 증폭된 DNA 단편을 'In-Fusion HD Cloning Kit (TAKARA, Japan)'을 사용하여 각각 *Sma*I이 처리된 pGRG36에 삽입하였고, 그 결과 pGlacZ Δ M15 (변형된 *lacZ* 및 야생형 *lacYA* 보유)를 구축할 수 있었다 (Chin, Y.W., et al. (2015) Journal of Biotechnology 210: 107-115). 이 pGlacZ Δ M15를 *E. coli* BL21 (DE3) star에 삽입하여 최종적으로 *E. coli* BL21 (DE3) star ΔL M15를 제작할 수 있었다.

[0038]

한편, 하기 실시예 3에서 사용한 호스트 균주인 *E. coli* BL21 (DE3) star ΔL YA 호스트 균주를 하기의 방법으로 제작하였다. pGlacYA를 제작하기 위해, 2쌍의 프라이머 'P1_M15 lac/P2_lacYA'와 'P3_lacYA/P4_M15 lac'를 사용하여 2개의 DNA 단편을 증폭하였다. 증폭된 DNA 단편들을 'In-Fusion HD Cloning Kit (TAKARA, Japan)'을 사용하여 각각 *Sma*I이 처리된 pGRG36에 삽입하였고, 그 결과, pGlacYA (*lacZ* 결실 및 야생형 *lacYA* 보유)가 구축되었다 (Chin, Y.W., et al. (2015) Journal of Biotechnology 210: 107-115). 이 pGlacYA를 *E. coli* BL21 (DE3) star에 삽입하여 최종적으로 *E. coli* BL21 (DE3) star ΔL YA를 제작할 수 있었다.

[0039]

한편, 헬리코박터 파이로리 (*Helicobacter pylori*) ATCC 26695에서 α -1,3-푸코오즈전이효소 유전자 *fucB* (서열번호 1)를 클로닝하여 pCOLADuet-1에 도입함으로써 재조합 벡터 pFucB를 구축하였다. 또한, 헬리코박터 파이로리 (*Helicobacter pylori*) ATCC 43504에서 α -1,3-푸코오즈전이효소 유전자 *pyIT* (서열번호 2)를 클로닝하여 pCOLADuet-1에 도입함으로써 재조합 벡터 pPy1T를 구축하였다. 또한, 박테로이데스 프라질리스 (*Bacteroides fragilis*) ATCC 25285 유래의 α -1,3-푸코오즈전이효소 유전자 *fra1* (서열번호 3), *fra2* (서열번호 4)를 pCOLADuet-1에 각각 도입함으로써 재조합 벡터 pFra1, pFra2를 각각 구축하였다.

[0040]

한편, 실시예 2의 3-푸코실락토오즈 생산을 위하여 상기에서 구축한 벡터를 GDP-푸코오즈 생산 균주 (BL21 (DE3) star ΔL M15 pmBCGW)에 도입함으로써, 최종적으로 'BL21 (DE3) star ΔL M15 pmBCGW + pFucB 균주', 'BL21 (DE3) star ΔL M15 pmBCGW + pPy1T 균주', 'BL21 (DE3) star ΔL M15 pmBCGW + pFra1 균주', 'BL21 (DE3) star ΔL M15 pmBCGW + pFra2 균주'를 각각 구축하였다.

[0041]

또한, 실시예 3의 3-푸코실락토오즈 생산을 위하여 상기에서 구축한 벡터를 GDP-푸코오즈 생산 균주 (*E. coli* BL21 (DE3) star ΔL YA pmBCGW)에 도입함으로써, 최종적으로 'BL21 (DE3) star ΔL YA pmBCGW + pFucB 균주', 'BL21 (DE3) star ΔL YA pmBCGW + pPy1T 균주', 'BL21 (DE3) star ΔL YA pmBCGW + pFra1 균주', 'BL21

(DE3) star ΔL YA pmBCGW + pFra2 균주'를 각각 구축하였다.

[0042] 한편, 3-푸코실락토오즈를 생산하기 위한 모든 균주, 플라스미드 및 올리고뉴클레오티드를 표 1내지 2에 기재하였다.

표 1

균주 및 플라스미드

균주	관련된 특징
<i>E. coli</i> TOP10	F ⁻ , <i>mcrA</i> (<i>mrr-hsdRMS-mcrBC</i>) <i>f801acZΔM15 Δ lacX74 recA1 araD139 Δ(ara-leu)7697 galU galK rpsL</i> (Str ^R) <i>endA1 nupG</i>
<i>E. coli</i> BL21star(DE3)	F ⁻ , <i>ompT, hsdSB(r_B m_B)</i> , <i>gal, dcm rne131</i> (DE3)
ΔL	BL21star(DE3) $\Delta lacZYA$
ΔL M15	BL21star(DE3) $\Delta lacZYA Tn7::lacZΔM15YA$
ΔL YA	BL21star(DE3) $\Delta lacZYA Tn7::lacYA$
플라스미드	관련된 특징
pmBCGW	pETDuet-1 + <i>gmd-wcaG</i> (<i>NdeI/XhoI</i>) + <i>manB-manC</i> (<i>NcoI+EcoRI</i>)
pCOLADuet-1	Two T7 promoters, ColA replicon, Kan ^R
pFucB	pCOLADuet-1 + <i>fucB</i> (<i>NdeI/KpnI</i>)
pPy1T	pCOLADuet-1 + <i>py1T</i> (<i>NdeI/KpnI</i>)
pFra1	pCOLADuet-1 + <i>fra1</i> (<i>NdeI/KpnI</i>)
pFra2	pCOLADuet-1 + <i>fra2</i> (<i>NdeI/BglII</i>)

표 2

사용된 프라이머

프라이머 이름	서열(5'→3')	비고
F_NdeI_fucB	GGAATTCCATATGTTCCAACCCCTATTAGACGC	
R_KpnI-fucB	GGGGTACCTACAAACCAATTTTAACCAAAC	
F_NdeI_py1T	GGAATTCCATATGTTCCAACCCCTATTAGACGCC	
R_KpnI-py1T	GGGGTACCTTATTTTAACCCACCTCCTTATTACACG	
F_NdeI_fra1	GGAATTCCATATGGATATATTGATTCTTTTATAATACGATGTGG	
R_KpnI-fra1	CGGGGTACCTCATATCCCTCCCAATTAGTTCTGTGTAT	
F_NdeI_fra2	GAAGATCTATGAAAAAGTATTCTCTATAAAATACCAAAATTCTCTG	
R_BglII-fra2	CGGGGTACCTAATAAAACACCTGTATATTCTATTCT	
* 이 텔릭체로 표시된 서열은 특정 제한효소의 인자 부위를 나타냄		

[0047] [실시예 1: 회분식 배양을 통한 α-1,3-푸코실락토오즈 생산]

[0048] 상기 제조예 1에서 새로이 구축된 균주들을 이용하여 α-1,3-푸코실락토오즈를 생산하였다. 플라스크를 이용하여 최소 배지(13.5 g/L KH₂PO₄, 4.0 g/L (NH₄)₂HPO₄, 1.7 g/L citric acid, 1.4 g/L MgSO₄ · 7H₂O, 10 mL/L 미량 원소용액 (10 g/L Fe(III) citrate, 2.25 g/L ZnSO₄ · 7H₂O, 1.0 g/L CuSO₄ · 5H₂O, 0.35 g/L MnSO₄ · H₂O, 0.23 g/L Na₂B₄O₇ · 10H₂O, 0.11 g/L (NH₄)₆Mo₇O₂₄, 2.0 g/L CaCl₂ · 2H₂O), pH6.8)에, 20 g/L의 글리세롤을 초기 탄소원으로 첨가하여 3-푸코실락토오즈를 생산하였다. 그리고, OD₆₀₀가 0.6~0.8 \circ 되었을 때 IPTG (Isopropyl β-D-1-thiogalactopyranoside) 0.1 mM 농도로 유도(induction)를 진행하였고, 이때 락토오즈를 20 g/L가 되도록 배지에 첨가해주었다.

[0049] 실험 결과는 도 2와 같이 나타났다. 'BL21 (DE3) star ΔL M15 pmBCGW + pFucB 균주'의 경우 0.13 g/L, 'BL21 (DE3) star ΔL M15 pmBCGW + pPy1T 균주'의 경우 0.24 g/L의 3-푸코실락토오즈를 각각 생산하였다. 또한, 'BL21 (DE3) star ΔL M15 pmBCGW + pFra1 균주'와 'BL21 (DE3) star ΔL M15 pmBCGW + pFra2 균주'는 각각 0.16 g/L, 0.06 g/L의 α-1,3-푸코실락토오즈를 생산하였다.

- [0050] 도 2는 'BL21 (DE3) star ΔL M15 pmBCGW + pFucB 균주', 'BL21 (DE3) star ΔL M15 pmBCGW + pPy1T 균주', 'BL21 (DE3) star ΔL M15 pmBCGW + pFral 균주' 및 'BL21 (DE3) star ΔL M15 pmBCGW + pFra2 균주'를 이용한 α -1,3-푸코실락토오즈 생산 결과이다.
- [0052] [실시예 2: 유가식 배양을 통한 α -1,3-푸코실락토오즈의 대량 생산]
- [0053] 상기 제조예 1에서 제작한, 'BL21 (DE3) star ΔL YA pmBCGW + pFucB 균주', 'BL21 (DE3) star ΔL YA pmBCGW + pPy1T 균주', 'BL21 (DE3) star ΔL YA pmBCGW + pFral 균주' 및 'BL21 (DE3) star ΔL YA pmBCGW + pFra2 균주'를 가지고, α -1,3-푸코실락토오즈의 대량 생산을 위한 유가식 배양을 실시하였다.
- [0054] 2.5 L 바이오리액터를 이용하여, 상기 실시예 1의 플라스크 배양과 같은 조성의 1 L 최소배지에서 고농도 세포 배양 및 3-푸코실락토오즈 대량 생산을 위한 유가식 배양을 실시하였다.
- [0055] 초기 20 g/L의 글리세롤을 이용하여 세포 건조균체량이 약 OD₆₀₀=6.5가 될 때까지, 키운 후 IPTG 0.1 mM 농도로 단백질을 발현시켰다. 이때, 발효기의 온도를 37°C에서 25°C로 조절하였고, 추가적으로 락토오즈를 20 g/L 농도가 되도록 추가하였다. 또한, pH-stat을 이용하여 pH가 6.78~6.72가 되도록 유지하면서, 글리세롤을 계속적으로 공급하였다. 교반속도는 1200 rpm이었으며, 통기 속도는 2 vvm이 되도록 조절하였다.
- [0056] 실험 결과, 'BL21 (DE3) star ΔL YA pmBCGW + pFucB 균주'의 경우 72시간 동안 16 g/L의 락토오즈를 이용하여 6.7 g/L의 α -1,3-푸코실락토오즈를 생산하였다. 그리고, 'BL21 (DE3) star ΔL YA pmBCGW + pPy1T 균주'의 경우는 58시간 동안 20.2 g/L의 락토오즈를 이용하여 10.6 g/L의 α -1,3-푸코실락토오즈를 생산하였다. 또한, 'BL21 (DE3) star ΔL YA pmBCGW + pFral 균주'의 경우 48.5시간 동안 0.1 g/L의 α -1,3-푸코실락토오즈를 생산하였다. 또한, 'BL21 (DE3) star ΔL YA pmBCGW + pFra2 균주'의 경우 50.8시간 동안 0.14 g/L의 α -1,3-푸코실락토오즈를 생산하였다.
- [0057] 상기의 1 L 배양 결과 헬리코박터 파이로리 (*Helicobacter pylori*) ATCC 43504 유래의 pylT가 가장 높은 3-푸코실락토오즈의 생산을 보였으며, 박테로이데스 프라질리스 (*Bacteroides fragilis*) ATCC 25285 유래의 α -1,3-푸코오즈전이효소들은 α -1,3-푸코실락토오즈를 거의 생산하지 못하는 것으로 나타났다.
- [0058] 하기 표 3은 상기 실험의 결과를 정리한 것이고, 도 3은 'BL21 (DE3) star ΔL YA pmBCGW + pFucB 균주', 'BL21 (DE3) star ΔL YA pmBCGW + pPy1T 균주', 'BL21 (DE3) star ΔL YA pmBCGW + pFral 균주' 및 'BL21 (DE3) star ΔL YA pmBCGW + pFra2 균주'를 이용한 유가식 배양 결과이다.

표 3

	Maximum dry cell mass (g/L)	Consumed lactose conc. (g/L)	Maximum 3-FL conc. (g/L)	Yield (g 3-FL / g lactose)	Productivity (g/L · h)
FucB	47.2	16.1	6.7	0.42	0.106
PylT	52.1	20.2	10.6	0.57	0.203
Fral	48.5	14.5	0.1	0.007	
Fra2	50.8	14.8	0.14	0.009	

[0061] [실시예 3: *wcaJ* 유전자의 추가적 파쇄]

[0062] *wcaJ* 유전자의 추가적 파쇄를 위하여 lambda red recombinase (One-step inactivation of chromosomal genes in *Escherichia coli* K-12 using PCR products, K.A. Datsenko, *PNAS*, 2000)를 이용하였다. 도 4는 'BL21 (DE3) star 균주'의 *wcaJ* 유전자 파쇄 결과이다 (1. 야생형 *wcaJ* 확인, 2. Kanamycin cassette 삽입, 3. $\Delta wcaJ$ 균주 확인). 도 4의 밴드에서 볼 수 있듯이, *wcaJ* 유전자가 잘 파쇄된 것을 확인할 수 있었다.

[0064] [실시예 4: *wcaJ* 파쇄 균주의 확인]

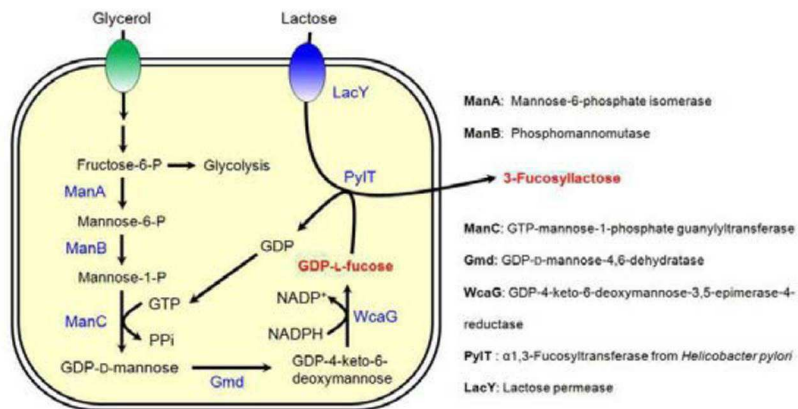
[0065] 상기 제조예 1에서 구축된 기준의 균주로부터 추가적으로 *wcaJ*가 파쇄된 'BL21 (DE3) star ΔL YA $\Delta wcaJ$ pmBCGW + Py1T 균주'를 구축하였다. 또한, 상기에 명시된 같은 방법의 발효 조건으로 유가식 배양을 실시하였다.

[0066] 총 발효시간 59시간이었으며, 18.2 g/L의 락토오즈를 이용하여, 11.5 g/L의 3-푸코실락토오즈를 생산할 수 있었다. *wcaJ* 파쇄 균주는 그렇지 않은 'BL21 (DE3) star ΔL YA pmBCGW + Py1T 균주'와 비교하여 적은 양의 락토오즈를 이용하였음에도 불구하고 약 8.5 %의 생산량이 증가를 보였다. 도 5는 'BL21 (DE3) star ΔL YA $\Delta wcaJ$

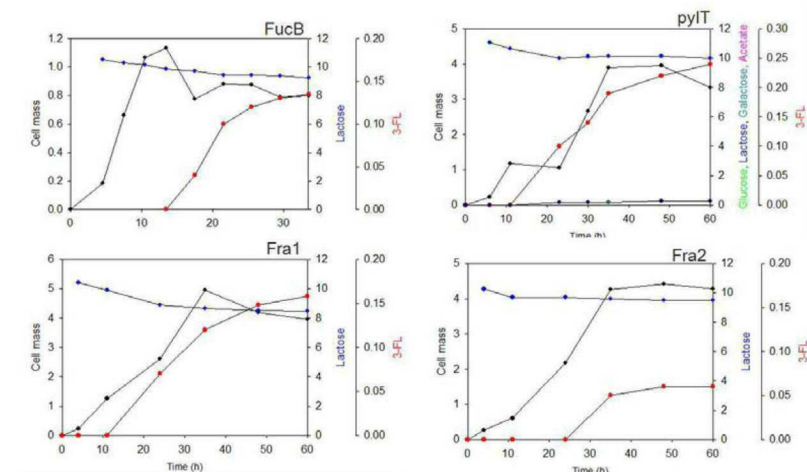
pmBCGW + PyIT 균주'의 유가식 배양 결과이다.

도면

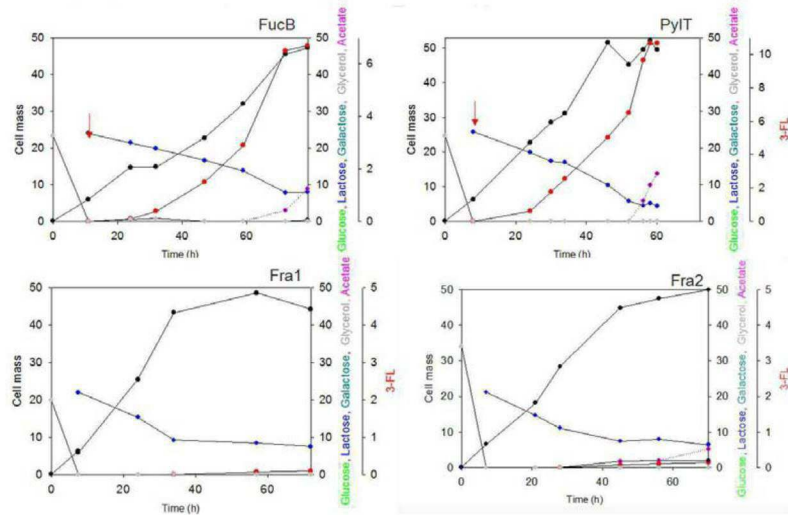
도면1



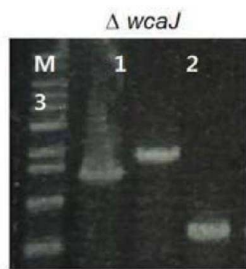
도면2



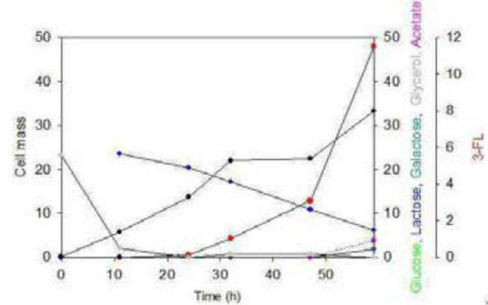
도면3



도면4



도면5



서 롤 목 록

- <110> SNU R&DB FOUNDATION
- <120> Method for the mass production of 3-fucosyllactose
- <130> AP-2015-0226
- <160> 6
- <170> Kopatent In 2.0
- <210> 1
- <211> 1278

<212> DNA

<213> Helicobacter pylori ATCC 26695

<400> 1

atgttccaaac ccctattaga cgccttata gaaagcgctt ccattgaaaa aatggcctct	60
aaatctcccc cccccccct aaaaatcgct gtggcgaatt ggtggggaga tgaagaaatt	120
aaagaattta aaaagagcgt tctttatTT atcctaagcc aacgctacgc aatcacccctc	180
cacccaaacc ccaatgaatt ttcatgatcta gtttttagca atcctttgg agcggctaga	240
aagattttat ctatcaaaa cactaacga gtgtttaca ccggtgaaaa cgaatcacct	300
aatttcaacc tctttgatta cgccataggc tttgaigaat tggattttaa tgatcgttat	360
ttgagaatgc ctttgttata tgcccatattg cactataaag ccgagcttgt taatgacacc	420
actgcgcct acaaactcaa agacaacagc ctttatgctt taaaaaaaaacc ctctcatcat	480
ttaaagaaa accaccctaa ttgtgcgca gtagtgaatg atgagagcga tcttttaaaa	540
agagggtttg ccagtttgcg acgagcaac gctaacgctc ctatgaggaa cgcttttat	600
gacgctctaa attccataga gccagttact gggggaggaa gtgtgagaaa cacttttaggc	660
tataaggttg gaaacaaaag cgagtttta agccaataca agtcaatct ctgtttgaa	720
aactcgcaag gttatggcta tgaaccgaa aaaatccttg atgcgtattt tagccatacc	780
attcctattt attggggag tcccagcgtg gcgaaagatt ttaaccctaa aagtttgcg	840
aatgtgcattt attcaacaa ctttgcattt gcgatttgcgat atatcaaata cctgcacacg	900
cacccaaacg ctatTTTTT catgcattt gaaaaccctt taaacaccct tggatggaaa	960
gcttactttt accaagatTTT gagttttaaaa aaaatccttag attttttaa aacgatTTT	1020
gaaaacgata cgatttatca caatttcata acatcttca tgtggagta cgatctgcatt	1080
aagccgttag tatccattga tgatttgagg gttattatg atgatttgag gttattat	1140
gaccggcttt tacaaaacgc ttgcctta ttggactct ctcaaaacac cactttaa	1200
atctatcgca aagtttatca aaaatccttg ctttgcgttgc gcgccgttag aaagtggtt	1260
aaaaaaattgg gtttgtaa	1278
<210> 2	
<211> 1365	
<212> DNA	
<213> Helicobacter pylori ATCC 43504	
<400> 2	
atgttccaaac ccctattaga cgccttata gaaagcgctt ccattgaaaa aatggcctct	60

aaatctcccc cccccctaaa aatcgctgtg gcgaatttgtt ggggagatga agaaattaaa	120
gaatttaaaa agagcactct gtatttcatt ttaagtcagc attacacaat cactttacac	180
cggaaaccctg ataaaacctgc ggacatcggtt ttggtaacc cccttgatc agccagaaaa	240
atcttatacct atcaaaacac taaacgaata ttttacacccgt gaaaacgatc atcgctaat	300
ttcaaccctt ttgattacgc cataggcattt gatgaattttt accttagaga tcgttattt	360
agaatgcctt tatattatga taggctacac cataaagccg agagcgtgaa tgacaccacc	420
gcaccctaca agattaaagg caacagcctt tatactttaa aaaaaccctc ccatgtttt	480
aaagaaaaacc accctaattt gtgcgcgctc atcaataatg agagcgatcc tttgaaaaga	540
gggtttgcca gttttagc gagcaacgct aacgctccat tgaggaacgc tttctatgac	600
gccttaaattt ctattgagcc agttactgggg ggaggagccg tgaaaaaacac tttaggctat	660
aagggtggaa acaaaggcga gtttttaagc caatacaaat tcaaccctgtt tttgaaaac	720
tcacaaggct atggctatgt aaccgaaaaa atcattgacg ctactttt ccatactattt	780
cccatttattt gggggagtcc cagcgtggcg aaagattttt accctaagag ttttgtaat	840
gtccatgatt tcaacaactt tcatgaaagcg attgattacg tgagataactt gcacacgcac	900
ccaaacgctt atttagacat gctctatgaa aaccctttaa acacccttga tggaaagct	960
tacttttacc aaaatttgag ttttaaaaaa atcctagatt ttttaaaac gattttagaa	1020
aacgacacga ttatcataa taaccctttc attttctatc gtgatttgaa tgagccgtta	1080
gtatccattt gtaatttgag aatcaattat gataatttga gggtaattt tgatgattt	1140
agggttaattt atgatgattt gagggttaat tatgatgatt tgagaatcaa ttatgatgat	1200
ttgagaatca attatgatga tttgagaattt aattatgagc gcctttgca aaacgcttca	1260
cctttatttgg aattgtccca aaacacctct tttaaaatct atcgaaaaat ttatcaaaaa	1320
tccttaccctt tattgcgtgt aataaggagg tgggtttaaa aataaa	1365
<210> 3	
<211> 891	
<212> DNA	
<213> Bacteroides fragilis ATCC 25285	
<400> 3	
atggatatat tgatttttt ttataatacg atgtggggat ttccactcga gttccgaaag	60
gaagatttac ctggggctg tgtgataacg actgatcgaa acctcattgc aaaggcgat	120
ggcggtttt tccatttgc cgatttgcct tcgggtatgg aggtgaaat cgataagcgg	180
gaaggacacgc ttgggtggg atggagtctg gaatgtgaag agaattatag ttggacgaag	240

gatcccgagt tcagagagag ttttactta tggatgggt atcatcagga ggtatgatatt	300
gtgtatcctt attatggacc ggattatggg aagatgctgg ttacggcacg gagggaaaag	360
ccttataaga agaaggcatg tatgtttatt tcgagtgata tgaaccggag tcaccgacaa	420
gagtatctta aggaattgtat gcagtatacc gacatcgatt cgtatggaa actataccgt	480
aatttgtaa tacctgttga ggatcgggaa cgggatacac ttcttagtgt gatcgggat	540
tatcagttt tgataagtt tgagaatgcg ataggaaagg attatgtgac agaaaagttt	600
ttcaatcctt tttggccgg tactgttccg gtctatctgg gagtcggaa tattcggaa	660
tttgcggg gagaaaattt tttctggat atttgtactt tcgattctcc cgaggagta	720
gccgccttta tgaatcaatg ctatgtatgc gaggcattgt atgaacgttt ttatgcatttgg	780
aggaaacggc ctttattttt gtcgttaca aataagttt agcaagtccg gagcaatccg	840
ttaatcaggc ttggccaaaa aatacacgaa ctaaaattgg gagggatatg a	891
<210> 4	
<211> 981	
<212> DNA	
<213> Bacteroides fragilis ATCC 25285	
<400> 4	
atgaaaaaaag tattcattcc tataaatacc aaaattcctg ttgaaaggca gttccctaatt	60
agagttccta ttggggaaa ttacgagttt attatatcta ctaaagaacc agagcaagaa	120
tacgattatg ttgtggattt agatgacatt gaatattctc ttctttgtat gtgtgtaa	180
caaaatataat gtttatttac aggagaacct ccatatgtta agtttatcc tcgtaaatataat	240
ttaaaccat ttgggcatgt ttatacgtgc caatccagt tattaaaag agataatgcc	300
tgcttatctt atcctgcatt accttggatg ctatattaca atttctataa tgacaaacaa	360
aaagaagagt tattaataga ttatgattt ttgaaaata gccaacatt acagaggaaa	420
aataaaatct gcttatttac ttctaataaa aaaatctt agggcatat tgaacgcatt	480
aagtttgcgt tggaaatttgc agagggaaatg cctgatttga ttgatataa tggttctggc	540
tttactaatg ttgattataa atatgaagtg atggtaaat ataagtatgc cattgtataa	600
gaaaactgtt catatccgta ttattggact gagaattgg ctgatacttt cttgtcagga	660
tgctatccga tatattttgg tgatccacat attggagatt tttttcaaa ggaagaaaatg	720
gctgtgattt atattaggaa ttttgcattt agtaaggcaga ctataaaaaa aataatagat	780
aataatgttt atgagaagca atatgagaat atttgtcatg cacgagacaa aatttttagat	840
aaatataataa tggggatgg aatttcgagt acactggatt caataccgc taagtttagat	900

aaggaaaaat tactttttc tccttatgcgg ctttagtgtt ttgatagaat tagaaataga	960
ata tacaggt tggttatta g	981
<210> 5	
<211> 425	
<212> PRT	

<213> Helicobacter pylori ATCC 26695		
<400> 5		
Met Phe Gln Pro Leu Leu Asp Ala Phe Ile Glu Ser Ala Ser Ile Glu		
1	5	10
Lys Met Ala Ser Lys Ser Pro Pro Pro Leu Lys Ile Ala Val Ala		
20	25	30
Asn Trp Trp Gly Asp Glu Glu Ile Lys Glu Phe Lys Lys Ser Val Leu		
35	40	45
Tyr Phe Ile Leu Ser Gln Arg Tyr Ala Ile Thr Leu His Gln Asn Pro		
50	55	60
Asn Glu Phe Ser Asp Leu Val Phe Ser Asn Pro Leu Gly Ala Ala Arg		
65	70	75
Lys Ile Leu Ser Tyr Gln Asn Thr Lys Arg Val Phe Tyr Thr Gly Glu		
85	90	95
Asn Glu Ser Pro Asn Phe Asn Leu Phe Asp Tyr Ala Ile Gly Phe Asp		
100	105	110
Glu Leu Asp Phe Asn Asp Arg Tyr Leu Arg Met Pro Leu Tyr Tyr Ala		
115	120	125
His Leu His Tyr Lys Ala Glu Leu Val Asn Asp Thr Thr Ala Pro Tyr		
130	135	140
Lys Leu Lys Asp Asn Ser Leu Tyr Ala Leu Lys Lys Pro Ser His His		
145	150	155
Phe Lys Glu Asn His Pro Asn Leu Cys Ala Val Val Asn Asp Glu Ser		
165	170	175
Asp Leu Leu Lys Arg Gly Phe Ala Ser Phe Val Ala Ser Asn Ala Asn		
180	185	190
Ala Pro Met Arg Asn Ala Phe Tyr Asp Ala Leu Asn Ser Ile Glu Pro		

195

200

205

Val Thr Gly Gly Ser Val Arg Asn Thr Leu Gly Tyr Lys Val Gly

210

215

220

Asn Lys Ser Glu Phe Leu Ser Gln Tyr Lys Phe Asn Leu Cys Phe Glu

225 230 235 240

Asn Ser Gln Gly Tyr Gly Tyr Val Thr Glu Lys Ile Leu Asp Ala Tyr

245

250

255

Phe Ser His Thr Ile Pro Ile Tyr Trp Gly Ser Pro Ser Val Ala Lys

260

265

270

Asp Phe Asn Pro Lys Ser Phe Val Asn Val His Asp Phe Asn Asn Phe

275

280

285

Asp Glu Ala Ile Asp Tyr Ile Lys Tyr Leu His Thr His Pro Asn Ala

290

295

300

Tyr Leu Asp Met Leu Tyr Glu Asn Pro Leu Asn Thr Leu Asp Gly Lys

305 310 315 320

Ala Tyr Phe Tyr Gln Asp Leu Ser Phe Lys Lys Ile Leu Asp Phe Phe

325

330

335

Lys Thr Ile Leu Glu Asn Asp Thr Ile Tyr His Lys Phe Ser Thr Ser

340

345

350

Phe Met Trp Glu Tyr Asp Leu His Lys Pro Leu Val Ser Ile Asp Asp

355

360

365

Leu Arg Val Asn Tyr Asp Asp Leu Arg Val Asn Tyr Asp Arg Leu Leu

370

375

380

Gln Asn Ala Ser Pro Leu Leu Glu Leu Ser Gln Asn Thr Thr Phe Lys

385 390 395 400

Ile Tyr Arg Lys Ala Tyr Gln Lys Ser Leu Pro Leu Leu Arg Ala Val

405

410

415

Arg Lys Leu Val Lys Lys Leu Gly Leu

420

425

<210> 6

<211> 454

<212> PRT

<213> Helicobacter pylori ATCC 43504

<400> 6

Met Phe Gln Pro Leu Leu Asp Ala Phe Ile Glu Ser Ala Ser Ile Glu

1 5 10 15

Lys Met Ala Ser Lys Ser Pro Pro Pro Leu Lys Ile Ala Val Ala Asn

20 25 30

Trp Trp Gly Asp Glu Glu Ile Lys Glu Phe Lys Lys Ser Thr Leu Tyr

35 40 45

Phe Ile Leu Ser Gln His Tyr Thr Ile Thr Leu His Arg Asn Pro Asp

50 55 60

Lys Pro Ala Asp Ile Val Phe Gly Asn Pro Leu Gly Ser Ala Arg Lys

65 70 75 80

Ile Leu Ser Tyr Gln Asn Thr Lys Arg Ile Phe Tyr Thr Gly Glu Asn

85 90 95

Glu Ser Pro Asn Phe Asn Leu Phe Asp Tyr Ala Ile Gly Phe Asp Glu

100 105 110

Leu Asp Phe Arg Asp Arg Tyr Leu Arg Met Pro Leu Tyr Tyr Asp Arg

115 120 125

Leu His His Lys Ala Glu Ser Val Asn Asp Thr Thr Ala Pro Tyr Lys

130 135 140

Ile Lys Gly Asn Ser Leu Tyr Thr Leu Lys Lys Pro Ser His Cys Phe

145 150 155 160

Lys Glu Asn His Pro Asn Leu Cys Ala Leu Ile Asn Asn Glu Ser Asp

165 170 175

Pro Leu Lys Arg Gly Phe Ala Ser Phe Val Ala Ser Asn Ala Asn Ala

180 185 190

Pro Met Arg Asn Ala Phe Tyr Asp Ala Leu Asn Ser Ile Glu Pro Val

195 200 205

Thr Gly Gly Ala Val Lys Asn Thr Leu Gly Tyr Lys Val Gly Asn

210 215 220

Lys Ser Glu Phe Leu Ser Gln Tyr Lys Phe Asn Leu Cys Phe Glu Asn

225	230	235	240
Ser Gln Gly Tyr Gly Tyr Val Thr Glu Lys Ile Ile Asp Ala Tyr Phe			
245	250	255	
Ser His Thr Ile Pro Ile Tyr Trp Gly Ser Pro Ser Val Ala Lys Asp			
260	265	270	
Phe Asn Pro Lys Ser Phe Val Asn Val His Asp Phe Asn Asn Phe Asp			
275	280	285	
Glu Ala Ile Asp Tyr Val Arg Tyr Leu His Thr His Pro Asn Ala Tyr			
290	295	300	
Leu Asp Met Leu Tyr Glu Asn Pro Leu Asn Thr Leu Asp Gly Lys Ala			
305	310	315	320
Tyr Phe Tyr Gln Asn Leu Ser Phe Lys Lys Ile Leu Asp Phe Phe Lys			
325	330	335	
Thr Ile Leu Glu Asn Asp Thr Ile Tyr His Asn Asn Pro Phe Ile Phe			
340	345	350	
Tyr Arg Asp Leu Asn Glu Pro Leu Val Ser Ile Asp Asn Leu Arg Ile			
355	360	365	
Asn Tyr Asp Asn Leu Arg Val Asn Tyr Asp Asp Leu Arg Val Asn Tyr			
370	375	380	
Asp Asp Leu Arg Val Asn Tyr Asp Asp Leu Arg Ile Asn Tyr Asp Asp			
385	390	395	400
Leu Arg Ile Asn Tyr Asp Asp Leu Arg Ile Asn Tyr Glu Arg Leu Leu			
405	410	415	
Gln Asn Ala Ser Pro Leu Leu Glu Leu Ser Gln Asn Thr Ser Phe Lys			
420	425	430	
Ile Tyr Arg Lys Ile Tyr Gln Lys Ser Leu Pro Leu Leu Arg Val Ile			
435	440	445	
Arg Arg Trp Val Lys Lys			
450			